

## نقش متغیرهای فرآیند تبلور مجدد در رفتار ناهمسانگردی ورق فولاد نورد شده \* St52

سید مجتبی زبرجد<sup>(۱)</sup>

سید عبدالکریم سجادی<sup>(۲)</sup>

**چکیده** نورد سرد یکی از مهمترین روش‌های شکلدهی ورق‌های فولادی است. این فرآیند موجب جهت دار شدن ریزساختار و در نتیجه خواص مکانیکی ورق می‌شود. جهت دار بودن خواص مکانیکی اصطلاحاً ناهمسانگردی (*Anisotropy*) نامیده می‌شود که یکی از روش‌های تعیین میزان آن استفاده از پارامتر  $R$  می‌باشد. یکی از راههای کنترل و بهینه کردن ناهمسانگردی، انجام عملیات حرارتی تابکاری (آنلی) تبلور مجدد می‌باشد. در پژوهش حاضر تأثیر جهت دار شدن ریزساختار بر خواص کشش ورق St52 نورد شده و نیز، تأثیر متغیرهای آنلی تبلور مجدد بر رفتار ناهمسانگردی آن بررسی شده است. مقادیر  $R$  با استفاده از نتایج آزمون کشش روبی نمونه‌های مختلف در سه جهت با زوایای  $0^\circ$ ،  $45^\circ$  و  $90^\circ$  درجه نسبت به امتداد نورد، تعیین شد. با استفاده از مقادیر  $R$  مقادیر متوسط آنها یعنی  $R_m$  برای جهت‌های پاد شده به دست آمد. همچنین، با تغییر متغیرهای دما، زمان و درصد کارسرد، میزان ناهمسانگردی فولاد مذکور اندازه‌گیری گردید. مشخص شد که در زمان ثابت، افزایش دمای تبلور مجدد باعث کاهش ناهمسانگردی فولاد نورد شده می‌گردد و این کاهش با افزایش درصد کار سرد تشکیل می‌شود. همچنین مشخص گردید که در دمای ثابت، افزایش زمان تبلور مجدد تا قبل از رسیدن به مرحله رشد دانه، سبب کاهش  $R_m$  می‌شود ولی پس از آن مرحله افزایش  $R_m$  را به دنبال دارد.

**واژه‌های کلیدی** نورد سرد، ناهمسانگردی، مقادیر  $R$ ، تبلور مجدد، ورق فولادی St52.

### Role of Recrystallization Parameters on the Anisotropy

#### Behavior of Rolled St52 Sheet Steel

S. A. Sajjadi

S. M. Zebarjad

**Abstract** Cold rolling which is one of the most important technique in sheet steel forming causes stretching of microstructure and thus directionality of mechanical properties. This kind of directionality of mechanical properties is known as anisotropy which is, frequently, determined by  $R$ -value. One of the ways by which the phenomenon is controlled and optimized is recrystallization heat treatment. In this research the effect of microstructure directionality on the tensile properties of rolled sheet steel and also the influence of heat treatment parameters on the anisotropy behavior of St52 steel were investigated. Tensile tests on the specimens at different directions,  $0^\circ$ ,  $45^\circ$  and  $90^\circ$  respect to the rolling direction were performed to determine  $R$ -value. Using the data average  $R$ -value,  $R_m$ , was obtained. The amount of anisotropy of the steel was measured by changing parameters such as time, temperature and cold work. It was determined that at constant time, increasing of recrystallization temperature causes reducing of anisotropy and this reduction would be promoted with increasing cold work. Also, it was demonstrated that at constant temperature, increasing of recrystallization time before grain growth causes reduction of  $R_m$  and after grain growth causes increasing of  $R_m$ .

**Key Words** Cold Rolling, Anisotropy, R-value, Recrystallization, St52 Sheet Steel.

\* سخن اولیه مقاله در تاریخ ۸۷/۴/۲ و نسخه نهایی آن در تاریخ ۸۷/۴/۶ به دفتر نشریه رسیده است.

(۱) و (۲) استادیار، دانشگاه فردوسی مشهد، دانشکده مهندسی، گروه متالورژی و مواد

## مقدمه

ماده در جهت ضخامت بیشتر از استحکام تسلیم آن در جهت پهناهی ورق است. برای ورق های نورد گرم شده مقدار  $R_m$  تقریباً برابر یک است چرا که بافت به وجود آمده در جهت های مختلف گسترش یافته است. مقدار  $R_m$  به عواملی مانند ترکیب شیمیائی آلیاژ، مدول یانگ، اندازه دانه اولیه، مقدار کرنش انجام شده و زاویه آن نسبت به امتداد نورد بستگی دارد<sup>[2]</sup>. نوع دیگری از ناهمسانگردی نیز در ورق های نورد شده مشاهده می شود که به نام ناهمسانگردی صفحه ای (Planar Anisotropy) معروف است. برای یک ورق کاملاً همسان  $\Delta R = 0$  می باشد. هدف این پژوهش تعیین تأثیر متغیرهای آنلیل تبلور مجدد بر مقدار  $R_m$  بوده و به این دلیل به ناهمسانگردی صفحه ای و یا تأثیر آنها بر قابلیت شکل بذیری فولادها پرداخته شده است.

در برخی مواد جهت دار شدن خواص مکانیکی نامطلوب است که باقیستی به طریقی کنترل گردد. به عنوان مثال، می توان به تأثیر ناهمسانگردی در کشش عمیق و فرآیند خم کاری اشاره کرد. به طوری که در فرآیند کشش عمیق علیرغم اعمال نیروهای متقابل لبه های فنجان ایجاد شده ناصاف می گردند. این نوع تغییر شکل ناهمگون ناشی از ناهمسانگردی صفحه ای ورق می باشد. نشان داده شده است هنگامی که  $\Delta R < 0$  باشد گوشواره های ایجاد شده در زاویه ۴۵ درجه نسبت به جهت نورد تشکیل می شوند. هنگامی که  $\Delta R > 0$  باشد گوشواره های در زوایای ۰ و ۹۰ درجه نسبت به جهت نورد ایجاد می شوند. تأثیر مثبت ناهمسانگردی عمودی و قائم می شود که با افزایاد مقدار  $R$  حد نسبت کشش (Limiting Drawing Ratio) ماده در جهت های ضخامت و پهنای کمک منحنی افزایش یابد. این اثر مثبت می تواند به کمک منحنی مکان هندسی سیلان برای مقادیر مختلف  $R$  طبق روش هیل (Hill) توصیف شود [1,3]. از طرفی در فرآیند خم کاری با افزایش پارامتر  $R_m$  میزان برگشت فری

فولاد St52 از جمله فولادهای مورد استفاده در صنعت خودروسازی است که بیشتر به صورت ورق از آن استفاده می شود. این فولاد، یک فولاد ساده کربنی است که معمولاً به طریقه نورد شکل دهی می شود. فرآیند نورد متداولترین و پرس رونق ترین روش تولید فرآوردهای فلزی به ویژه فولادهای است؛ به گونه ای که بیش از ۸۰٪ از فرآوردهای فلزی با این روش تولید می شود. نورد سرد موجب جهت دار شدن ریز ساختار در امتداد تغییر شکل می شود. دانه های فلز در جهت نورد کشیده می شوند و برخی فازهای رسوبی نیز در آن جهت به صورت کشیده در می آیند. افزون بر این، تغییر شکل زیاد موجب همسان شدن آرایش کربیتالوگرافی دانه های مجاور و تشکیل بافت (Texture) می گردد [1,2].] جهت دار شدن ریز ساختار، موجب جهت دار شدن خواص مکانیکی یا ناهمسانگردی می شود. مقدار  $R$  (R-value) که نسبت کرنش (Strain Ratio) یا ناهمسانگردی پلاستیکی (Plastic Anisotropy) نیز خوانده می شود، یکی از پارامترهایی است که با آن می توان میزان ناهمسانگردی فلز تغییر شکل داده را در جهت های مختلف تعیین نمود. مقدار متوسط  $R$  در جهت های مختلف،  $R_m$  که ناهمسانگردی عمودی (Normal Anisotropy) نامیده می شود، برای ماده کاملاً همسان مساوی یک است. مقدار یک نشان می دهد که کرنش در جهت ضخامت و کرنش در جهت پهناهی ورق با یکدیگر برابرند. از طرف دیگر استحکام، تسلیم ماده در جهت های ضخامت و پهنای ورق یکسان استند. به طور مشابه می توان گفت مقدار  $R_m$  بزرگتر از یک نشان می دهد که کرنش در جهت ضخامت و کرنش در جهت پهناهی ورق با یکدیگر برابر نیستند و ماده ناهمسانگرد نمی باشد. به دیگر عبارت، استحکام تسلیم

نگهداری در دمای بالا (در محدوده آنیل تبلور مجدد) موجب رشد دانه می‌گردد که می‌تواند با تغییر بافت همراه باشد. انرژی محركه این مرحله، کاهش مزدane با انرژی سطحی است [7].

بنابراین، با آنیل تبلور مجدد افزون بر کترول پدیده ناهمانگردی انجام عملیات حرارتی آنیل تبلور مجدد می‌باشد. عملیات حرارتی تبلور مجدد با آنیل فرآیند (Process Annealing) در زیر دمای A<sub>1</sub> و به منظور بازگرداندن میزان قابلیت تغییر شکل به قطعات کارسرد شده اعمال می‌شود. چون این سیکل‌ها در محدوده دو فازی فریت و سمتبیت در دمایهای ۶۵۰°C - ۵۰۰ در انجام می‌گیرند، استحاله فازی اتفاق نمی‌افتد [5]. به طور معمول، ریزساختار فولادهای کم کربن و کربن متوسط قبل از کارسرد، به صورت کروی شده و یا به صورت فریتی با مقدار کم پرلیت می‌باشد. هر دوی این ریزساختارها قابلیت تغییر شکل بالایی دارند. فریت در این کارسرد موجب تغییر شکل یا کارسخت شدن فریت و کشیده شدن دانه‌های فریتی (Pancake) در جهت تغییر شکل و ایجاد عیوب شبکه‌ای مانند جنگلهای نابجایی، حفره‌ها و جاهای خالی اتمی در دانه‌ها می‌شود [6]. در اثر گرم کردن، انرژی کرنشی زیاد فریت تغییر شکل داده شده، در ابتدا موجب بازیابی (Recovery) (مکانیزمی که به وسیله آن مقداری از عیوب کریستالی حذف یا به صورتی دیگر در می‌آیند) می‌گردد. سپس تبلور مجدد (Recrystallization) (فرآیندی که طی آن دانه‌های جدید هم محور بدون کرنش جوانهزنی و رشد می‌کنند، به طوری که این دانه‌ها کاملاً جایگزین دانه‌های فریتی تغییر شکل داده شده می‌شوند) اتفاق می‌افتد. بنابراین، نتیجه نهایی فرآیند تبلور مجدد، بازیابی میزان قابلیت تغییر شکل و ریزساختار هم محور شده فولاد، به طوری که قابلیت مجدد کارسرد شدن را به دست آورده، می‌باشد [7].

ورق‌های فلزی افزایش می‌یابد [4] که بحث در این زمینه از حوصله تحقیق حاضر خارج است.

یکی از راههای کاهش مقدار R<sub>0</sub> و کترول پدیده ناهمانگردی انجام عملیات حرارتی آنیل تبلور مجدد می‌باشد. عملیات حرارتی تبلور مجدد با آنیل فرآیند بازگرداندن میزان قابلیت تغییر شکل به قطعات کارسرد شده اعمال می‌شود. چون این سیکل‌ها در محدوده دو فازی فریت و سمتبیت در دمایهای ۶۵۰°C - ۵۰۰ در انجام می‌گیرند، استحاله فازی اتفاق نمی‌افتد [5]. به طور معمول، ریزساختار فولادهای کم کربن و کربن متوسط قبل از کارسرد، به صورت کروی شده و یا به صورت فریتی با مقدار کم پرلیت می‌باشد. هر دوی این ریزساختارها قابلیت تغییر شکل بالایی دارند. فریت در این کارسرد موجب تغییر شکل یا کارسخت شدن فریت و کشیده شدن دانه‌های فریتی (Pancake) در جهت تغییر شکل و ایجاد عیوب شبکه‌ای مانند جنگلهای نابجایی، حفره‌ها و جاهای خالی اتمی در دانه‌ها می‌شود [6]. در اثر گرم کردن، انرژی کرنشی زیاد فریت تغییر شکل داده شده، در ابتدا موجب بازیابی (Recovery) (مکانیزمی که به وسیله آن مقداری از عیوب کریستالی حذف یا به صورتی دیگر در می‌آیند) می‌گردد. سپس تبلور مجدد (Recrystallization) (فرآیندی که طی آن دانه‌های جدید هم محور بدون کرنش جوانهزنی و رشد می‌کنند، به طوری که این دانه‌ها کاملاً جایگزین دانه‌های فریتی تغییر شکل داده شده می‌شوند) اتفاق می‌افتد. بنابراین، نتیجه نهایی فرآیند تبلور مجدد، بازیابی میزان قابلیت تغییر شکل و ریزساختار هم محور شده فولاد، به طوری که قابلیت مجدد کارسرد شدن را به دست آورده، می‌باشد [7].

مرحله سوم عملیات حرارتی آنیل تبلور مجدد، رشد دانه (Grain Growth) می‌باشد. زمان طولانی

### روش تحقیق

ورق‌های فولاد St52 پس از آنالیز شیمیائی با روش کوانتمتری، تحت عملیات نورد سرد با درصدهای مختلف کرنش قرار گرفتند. سپس، نمونه‌های استاندارد کششی از ورق‌های نورد شده در سه چهت طولی، عرضی و ۴۵° نسبت به چهت نورد تهیه گردید. با انجام آزمایش کشش روی این نمونه‌ها، برخی مشخصات فولاد مانند: مقادیر توان کرنش سختی (n)، ضرب استحکام کششی (K<sub>s</sub>)، استحکام تسلیم و استحکام نهانی در جهت‌های مختلف به دست آمد. برای هر یک از شرایط پاد شده تعداد حداقل سه نمونه مورد آزمایش کشش قرار گرفت تا تکرار پذیری و میزان انحراف از معیار استاندارد آنها مشخص شود. خاطر نشان می‌سازد که توان n که میزان تعامل به کرنش سختی را نشان می‌دهد، بر اساس رابطه:  $\log \sigma = \log K_s + n \log e$  و رسم منحنی  $\log \sigma - \log e$  محاسبه شد. همچنین، مقادیر R در چهت‌های مختلف، پس از رسیدن به کرنش طولی ۱۵ درصد، تعیین گردید. بررسی میکروسکوپی پدیده ناهمانگردی روی نمونه‌های نورد شده نیز انجام شد.

### بحث و نتایج

ترکیب شیمیائی فولاد St52 در جدول (۱) آورده شده است. انجام کارسرد موجب تغییر ریز ساختار فولاد می‌گردد. کشیده شدن دانه‌ها در جهت نورد، کشیده شدن فازهای رسوبی و ساختارهای فریت و پرلیت و تشکیل باندینگ (Banding)، همسان شدن آرایش کریستالوگرافی دانه‌های مجاور و تشکیل بافت (Texture) و جهت‌دار شدن خواص مکانیکی (Nahmanganگردی) از جمله اثرات اعمال کار سرد می‌باشدند. شکل‌های (۱-الف تا د) ریزساختار نمونه‌های نورد شده با درصدهای مختلف کارسرد (۰، ۲۰، ۴۰ و ۶۰ درصد) را نشان می‌دهد. در همه نمونه‌ها ساختار کشیده‌ای از نوارهای فریتی و پرلیتی مشاهده می‌شود. دیده می‌شود که با افزایش درصد کارسرد میزان کشیدگی این لایه‌ها محسوس‌تر می‌شود که خود می‌تواند موجب غیریکوتاختی بیشتر ساختار و افزایش میزان ناهمسانگردی گردد.

جدول ۱ ترکیب شیمیائی فولاد St52 بر حسب درصد وزنی.

شماره استاندارد	مشخصه	C	Si	Mn	P	S
1.5421	St52	۰/۲۱	۰/۴۵	۱/۴۰	۰/۰۶	۰/۰۳

نتایج آزمون کشش بر روی نمونه‌های تهیه شده در زوایای مختلف (۰، ۴۵ و ۹۰ درجه) نسبت به جهت نورد در شکل (۲) آورده شده‌اند. ملاحظه می‌شود بیشترین مقادیر استحکام تسلیم و نهانی مربوط به نمونه‌هایی است که عمود بر امتداد نورد می‌باشد. البته همان طور که مشاهده می‌شود حساسیت استحکام تسلیم به جهت نورد بیشتر از حساسیت

به منظور مشخص نمودن میزان تأثیر دما و زمان تبلور مجدد بر ناهمسانگردی نمونه‌هایی که دچار مقادیر مختلف کرنش در جهت‌های مختلف شده‌اند، عملیات حرارتی تبلور مجدد در شرایط مختلف دمایی و زمانی روی نمونه‌های نورد شده انجام شد. سپس این نمونه‌ها تحت آزمایش کشش و بررسی ریزساختاری با استفاده از میکروسکوپ نوری قرار گرفتند. همچنین برای تعیین تأثیر اندازه دانه روی میزان ناهمسانگردی با میزان کار سرد ثابت، با اعمال عملیات حرارتی رشد دانه پس از تبلور مجدد در شرایط مختلف دمایی (۵۰، ۵۰۰ و ۶۷۰ درجه سانتیگراد) و زمانی (۲۰، ۴۰، ۶۰ و ۱۲۰ دقیقه) ساختارهایی با دانه‌بندی متفاوت به دست آمد که با انجام آزمون کشش در جهت‌های مختلف، مقادیر R میزان ناهمسانگردی یا مقدار R با استفاده از روش اندازه‌گیری زیر تعیین گردید [۱].

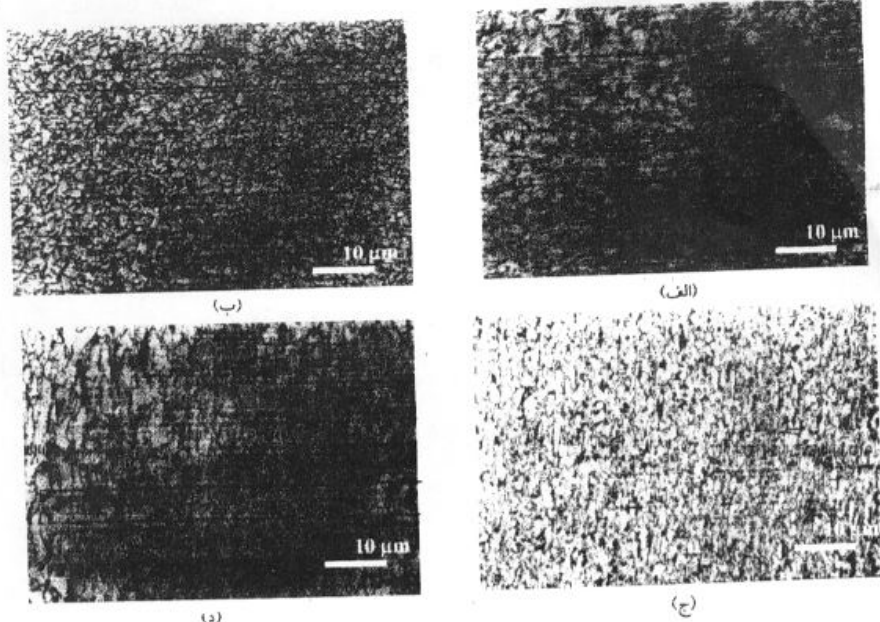
$$R = \frac{\epsilon_w}{\epsilon_t} = \frac{\ln(w/w_0)}{\ln(t/t_0)} \quad (1)$$

که در آن،  $w_0$  و  $t_0$  ابعاد اولیه نمونه و  $w$  و  $t$  ابعاد نهایی نمونه کششی می‌باشند. اما از آنجا که اندازه‌گیری دقیق ضخامت به ویژه در ورقه‌های نازک امکان‌پذیر نمی‌باشد، با توجه به قانون ثابت بودن حجم در هنگام تغییرشکل پلاستیک می‌توان مقدار R را از رابطه زیر نیز به دست آورد [۱]:

$$R = \frac{\epsilon_w}{\epsilon_t} = -\frac{\epsilon_w}{\epsilon_w + \epsilon_t} = -\frac{\ln(w/w_0)}{\ln(w/w_0) + \ln(l/l_0)} \quad (2)$$

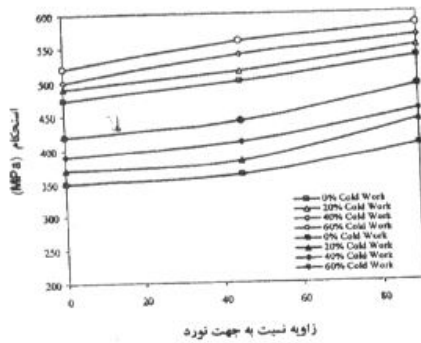
برای تعیین R متوسط یا  $R_m$  نیز از رابطه زیر استفاده شد [۱]:

$$R_m = \frac{R_0 + 2R_{45} + R_{90}}{4} \quad (3)$$



شکل ۱ ریزساختار فولاد St52 نورد شده (الف)، ۰٪ کار سرد (ب)، ۲۰٪ کار سرد (ج)، ۴۰٪ کار سرد و (د) ۶۰٪ کار سرد

تسلیم در هر دو جهت (طولی و عرضی) یکسان می‌باشد [9].



شکل ۲ تغییرات خواص کشش بر حسب زاویه نسبت به جهت نورد (علامت‌های توخالی استحکام نهایی و علامت‌های تویر استحکام تسلیم را نمایش می‌دهند)

استحکام نهایی می‌باشد. این نکته نشان می‌دهد که اثر بافت بر پلاستیcite و تعیین مکانیزم تسلیم موثرتر از اثر آن بر شرایط کارسختی و ادامه تغییر فرم پلاستیک می‌باشد. افزایش بیشتر استحکام را می‌توان به میزان ناهمانگردنی ورق‌ها در جهت عمودی بر امتداد نورد نسبت داد. اگر چه بدون شک افزایش ناهمانگردنی عمدتاً به بافت و مورفولوژی دانه‌های فولاد مرتبط می‌گردد [2,8]. بعضی از محققان بر این باورند که اختلاف استحکام تسلیم در امتداد نورد و امتداد عمود بر آن افزون بر وابستگی به درصد کارسرد اعمال شده، تابعی از ضخامت ورق نیز می‌باشد؛ به طوری که در ضخامت‌های بالاتر از ۱۰۰ میلیمتر عملایق تأثیر ناهمانگردنی صفحه‌ای بسیار ناچیز می‌باشد و استحکام

جدول ۲ تغییرات توان کارسختی ( $\Pi$ ) و ضریب استحکام ( $K$ ) نسبت به جهت نورد

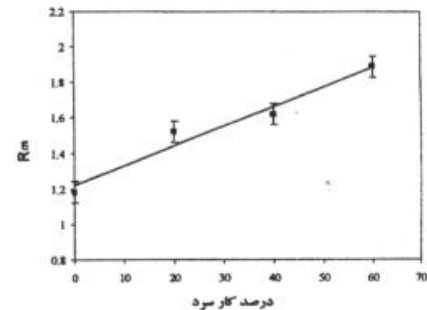
درصد کارسرد	زاویه جهت طولی نمونه نسبت به امتداد نورد											
	۹۰				۴۵				۰			
	۰	۲۰	۴۰	۶۰	۰	۲۰	۴۰	۶۰	۰	۲۰	۴۰	۶۰
$\Pi$	۰/۲۹	۰/۲۷	۰/۲۶	۰/۲۴	۰/۳	۰/۲۹	۰/۲۷	۰/۲۶	۰/۲۳	۰/۲۲	۰/۲۰	۰/۲۹
$K$ (MPa)	۸۲۰	۸۲۵	۸۳۵	۸۵۸	۸۰۵	۸۲۰	۸۴۰	۸۵۵	۸۰۰	۸۱۰	۸۳۰	۸۴۵

مقدار متوسط  $R$  برای ورق نورد شده با کرنش های مختلف در شکل (۳) آورده شده است. مشاهده می شود با افزایش درصد کارسرد، مقدار  $R_m$  که شاخص میزان ناهمانگردی عمودی می باشد، افزایش یافته است که دلیل آن را به تغییرات شدیدتر مورفلوژی دانه های فریتی و پرلیتی بر اثر نورد می توان نسبت داد. مقایسه نتایج شکل (۳) و تصاویر میکروسکوپی ارائه شده در شکل (۱) دلیل واضحی بر این مدعای می باشد.

برای بازگشت خواص و کترل و بهینه کردن اثر ناهمانگردی، فرآیند تبلور مجدد توصیه شده است. سه عامل دما، زمان تبلور مجدد و درصد کارسرد نمونه های نورد شده، روی میزان تأثیر فرآیند تبلور مجدد در بازیابی خواص نمونه ها موثر می باشند. برای مشخص کردن تأثیر پارامترهای عملیات حرارتی تبلور مجدد روی کاهش یا حذف ناهمانگردی، این عملیات در شرایط مختلف از نظر دما و زمان روی نمونه های نورد شده با درصد های مختلف کارسرد انجام گرفت.

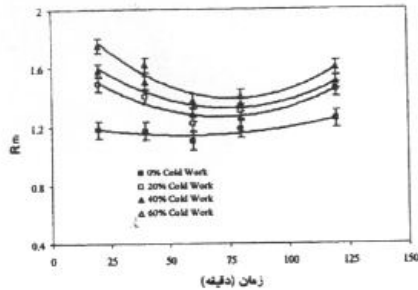
شکل (۴) تغییرات مقدار  $R_m$  بر حسب دماهای تبلور مجدد در زمان ثابت ۴۰ دقیقه را به صورت تابعی از درصد کارسرد نشان می دهد. مشاهده می شود با افزایش دماهای تبلور مجدد، در یک زمان ثابت، مقدار  $R_m$  کاهش می باید و این کاهش با افزایش درصد کارسرد محسوس تر می باشد. گزارش شده است که نیروی محركه لازم برای جوانه زنی دانه های جدید با افزایش

نمونه های کشی تهیه شده در جهت عمود بر امتداد نورد، حداقل مقدار درصد افزایش طول و کمترین مقدار توان کارسختی  $\Pi$  را دارند. نتایج ارائه شده در جدول (۲) نشان می دهد که استحکام با توان کارسختی رابطه عکس دارد. همان گونه که مشخص است افزایش زاویه نسبت به جهت نورد باعث کاهش  $\Pi$  و افزایش  $K$  می شود که دلیل آن به افزایش استحکام ناشی از ناهمانگردی مربوط می شود.

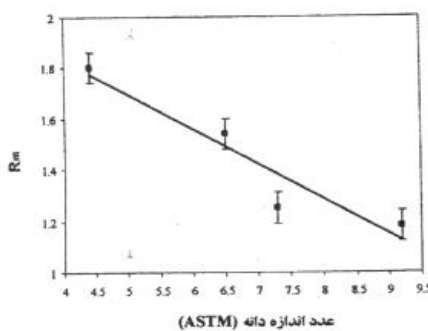
شکل ۳ نمودار تغییرات پارامتر ناهمانگردی ( $R_m$ ) بر حسب درصد کارسرد

فرآیند نورد موجب ایجاد ناهمانگردی در جهت های مختلف می شود بنابراین، طبیعی است که برای قطعه نورد شده نیاز به محاسبه مقدار متوسط  $R$   $R_m$  می باشد؛ چرا که مقدار  $R$  وابسته به زاویه محور طولی نمونه کشی و جهت نورد است. نتایج محاسبه

یعنی گرم کردن فولاد تا بالای دمای  $A_3$  انجام شود.



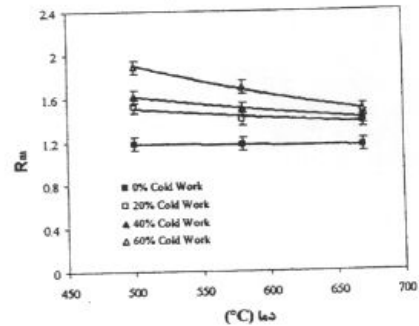
شکل ۵ پارامتر ناهمسانگردی  $R_m$  بر حسب زمان در دمای ثابت  $580^{\circ}\text{C}$  به صورت تابعی از درصد کارسرد



شکل ۶ نمایش وابستگی پارامتر ناهمسانگردی به اندازه دانه در درصد کار سرد ثابت

در این تحقیق با اعمال عملیات حرارتی رشد دانه، پس از تبلور مجدد، در شرایط مختلف دمایی ( $400^{\circ}\text{C}$ ،  $500^{\circ}\text{C}$ ،  $580^{\circ}\text{C}$  و  $775^{\circ}\text{C}$  درجه سانتیگراد) و زمانی ( $20$ ،  $40$ ،  $60$  و  $80$  دقیقه) ساختارهایی با دانه‌بندی متفاوت به دست آمد که با انجام آزمایش کشش در جهت‌های مختلف، مقادیر  $R_m$  آنها محاسبه گردید. نتایج به دست آمده که در شکل (۶) ارائه شده است، نشان می‌دهد که اندازه دانه نیز بر مقادیر  $R_m$  و در نتیجه بر میزان ناهمسانگردی تأثیر می‌گذارد. ملاحظه می‌گردد ریز

ناهمسانگردی بیشتر می‌شود و همین امر می‌تواند دلیل بر افزایش شب تغیرات  $R_m$  بر حسب دما با افزایش کارسرد باشد [10,11].



شکل ۷ نمودار تغیرات پارامتر ناهمسانگردی بر حسب دما در زمان ثابت  $40$  دقیقه به صورت تابعی از درصد کارسرد

شکل (۵) تغییرات مقدار  $R_m$  بر حسب زمان تبلور مجدد در دمای ثابت  $580^{\circ}\text{C}$  را به صورت تابعی از درصد کارسرد تعیش می‌دهد. مشاهده می‌شود با افزایش زمان تبلور مجدد در یک دمای ثابت، ابتدا مقدار  $R_m$  کاهش و سپس افزایش می‌باشد. دلیل کاهش مقدار  $R_m$  جوانزی دانه‌های جدید بدون تنفس و هم محور با گذشت زمان و کامل شدن وقوع یافیده تبلور مجدد است. این روند تا مرحله رشد دانه ادامه می‌باشد ولی پس از آن، رشد غیر همگن دانه‌ها و درشت شدن آنها باعث افزایش میزان ناهمسانگردی می‌شود. بنابراین پارامتر ناهمسانگردی  $R_m$  علاوه بر اینکه تابعی از درصد کارسرد می‌باشد می‌تواند به اندازه دانه نیز وابسته باشد. نمودارهای ارائه شده در شکل‌های ۴ و ۵ نشان می‌دهند که آنل تبلور مجدد حتی تا دمای  $775^{\circ}\text{C}$  و مدت‌های طولانی قادر به حذف کامل ناهمسانگردی نیست، اگرچه می‌تواند قابلیت شکل پذیری فولاد را برگرداند. برای حذف کامل ناهمسانگردی لازم است آنل کامل

ناهمسانگردی عمودی نمونهای که با درصد کارسرد بیشتری نورد شده بودند، چشمگیرتر می‌باشد به طوری که در مدت زمان ۴۰ دقیقه با افزایش دما از ۵۰۰ درجه سانتیگراد به ۶۸۰ درجه، کاهش ناهمسانگردی در نمونه ۶۰ درصد کار سرد شده حدود ۲۱ درصد است در حالی که در نمونه بلون کار سرد حدود ۲ درصد می‌باشد.

- تأثیر زمان تبلور مجدد در دمای ثابت روی کاهش ناهمسانگردی نمونهای که با درصد کارسرد بیشتری نورد شده بودند، بیشتر می‌باشد؛ به طوری که در دمای ۵۸۰ درجه سانتیگراد با افزایش زمان از ۰ تا ۶۰ دقیقه، کاهش ناهمسانگردی در نمونه ۶۰ درصد کار سرد شده حدود ۲۲ درصد است در حالی که در نمونه بدون کار سرد حدود ۷ درصد می‌باشد.
- برای همه نمونهای آبیل شده تحت شرایط مختلف، افزایش اندازه دانه با افزایش مقدار  $R_{\text{m}}$  همراه است به طوری که افزایش اندازه دانه از مقدار ۹/۲ به ۴/۴ (بر مبنای ASTM No.) موجب افزایش ناهمسانگردی به میزان ۶۲ درصد می‌شود.

شدن دانه (افزایش عدد اندازه دانه) موجب یکنواختی بیشتر خواص مکانیکی و کاهش مقدار  $R_{\text{m}}$  می‌شود. بر عکس، افزایش اندازه دانه از مقدار ۹/۲ به ۴/۴ (بر مبنای ASTM No.) موجب افزایش ناهمسانگردی به میزان ۶۲ درصد می‌شود.

### نتیجه‌گیری

در این پژوهش اثر متغیرهای زمان، دما و مقدار کارسرد در فرآیند تبلور مجدد بر رفتار ناهمسانگردی فولاد نورد شده S152 مورد بررسی قرار گرفت. همچنین با استفاده از نتایج آزمون کشش بر روی نمونهای مختلف که در سه جهت با زوایای ۰، ۴۵ و ۹۰ درجه نسبت به امتداد نوردته شده بودند، مقادیر  $R_{\text{m}}$  تعیین و واستگی آن به پارامترهای مختلف بررسی شد. نتایج به دست آمده به شرح زیر می‌باشد:

- حساسیت استحکام تسلیم در صفحه ورق نسبت به جهت نورد بیشتر از حساسیت استحکام نهایی می‌باشد.
- تأثیر دمای تبلور مجدد در زمان ثابت روی کاهش

### مراجع

1. Hosford, W. F, Caddell, R. M, "Metal Forming- Mechanics and Metallurgy" Prentice Hall, (1983).
2. Ray, R. K, Jonas, J. J, and Hook, R. E. "Cold rolling and Annealing Textures in Low-Carbon and Extra Low-Carbon Steels", International Materials Reviews, vol. 39, No. 4, pp. 129-172, (1994).
3. Mishra, S. and Darmani, C. "Role and Control of Texture in Deep-Drawing Steels", International Metals Reviews, vol. 27, No. 6, pp. 307-320 (1982).
4. گنجی، محمد رضا، جیپی پارسا، محمد و موسوی مشهدی، محمود، پیش بینی برگشت فنری ورقهای فلزی غیر ایزوتروپیک با دو اتحانی اصل؛ مجموعه مقالات، دومین کنگره انجمن مهندسین متالورژی ایران، دانشگاه صنعتی شریف، ۳۲۷-۳۲۶، مهر (۱۳۷۷).
5. Paul, M., "Unterweiser Heat Treaters Guide", American Society for Metals, (1995).
6. Avner, S. H., "Introduction to Physical Metallurgy", McGraw-Hill Book, New York, (1988).
7. Callister, W. D., "Fundamentals of Materials Science and Engineering", John Wiley & Sons, New York, (1985).
8. اکبرزاده، عباس، بررسی بافت و ان ایزوتروپی استحکام تسلیم در ورقهای نورد گرم شده یک فولاد کم آلیاژ نایبیوم دار، مجموعه مقالات، دومین کنگره انجمن مهندسین متالورژی ایران، دانشگاه صنعتی شریف، ۳۱۹-۳۰۷، مهر (۱۳۷۷).

9. Hutchinson, W.B. Ushioda, K., and Runnsgö, G. "Anisotropy of Tensile Behavior in Duplex Stainless Steel Sheet", Materials Science & Technology, No. 1, pp. 728-731, (1985).
10. Rohrer Gregory S., "Influence of Interface Anisotropy on Grain Growth and Coarsening", Annual Review of Materials Research, Vol. 35, pp. 99-126 (2005).
11. Panigrahi, B. K., "Processing of Low-Carbon Steel Plate and Hot Strip – an Overview", Bull. Mater. Sci., Vol. 24, No. 4, pp. 361-371, (2001).